

กำลังอัดและการแทรกซึมคลอไรด์ของมอร์ต้าร์ที่มีส่วนผสม ในระบบวัสดุประสานสามชนิด

สำเริง รักช้อน¹

มหาวิทยาลัยเทคโนโลยีราชมงคลพระนคร ถนนสามเสน ดุสิต กรุงเทพฯ 10300

และ ปริญญา จินดาประเสริฐ²

มหาวิทยาลัยขอนแก่น ขอนแก่น 40002

รับเมื่อ 28 มิถุนายน 2550 ตอบรับเมื่อ 19 มิถุนายน 2551

บทคัดย่อ

งานวิจัยนี้เป็นการศึกษากำลังอัดและการแทรกซึมคลอไรด์ของปอร์ตแลนด์ซีเมนต์มอร์ต้าร์ผสมเด็ก่านหินและกหนาด (FA) และเด็กาน้ำมันบดละลาย (POA) ปูนซีเมนต์ปอร์ตแลนด์ประเภทที่ 1 (OPC) แทนที่ด้วย FA และ POA ที่อัตราอ้อยละ 0-40 โดยน้ำหนักวัสดุประสาน นอกจากใช้การแทนที่แบบทั่วไปแล้ว การศึกษาในครั้งนี้ยังได้ใช้วัสดุปอชโซลาน FA ผสมรวมกับวัสดุปอชโซลาน POA นำไปแทนที่ปูนซีเมนต์ปอร์ตแลนด์ประเภทที่ 1 ใช้อัตราส่วนทรายต่อวัสดุประสานเท่ากับ 2.75 โดยน้ำหนัก และใช้อัตราส่วนน้ำต่อวัสดุประสาน (W/B) ด้วยค่าคงที่เท่ากับ 0.5 ใช้สารลดน้ำพิเศษในทุกส่วนผสมเพื่อควบคุมค่าการไหลแผ่เท่ากับร้อยละ 110 ± 5 โดย FA และ POA มีปริมาณน้ำหนักคงบนตะแกรงมาตรฐานเบอร์ 325 เท่ากับร้อยละ 1-3 โดยน้ำหนัก ทดสอบหาค่ากำลังอัดและการแทรกซึมคลอไรด์ของมอร์ต้าร์ผลการทดสอบพบว่ามอร์ต้าร์ที่ผสม FA และ POA ให้ค่ากำลังอัดที่สูง กำลังอัดของมอร์ต้าร์ผสมวัสดุปอชโซลานในอัตราอ้อยละ 10 และ 20 สูงกว่ามอร์ต้าร์ OPC ในทุกอายุการทดสอบ นอกจากนั้นการใช้วัสดุประสานสามชนิดรวมกันของ OPC, FA และ POA ให้ค่ากำลังอัดของมอร์ต้าร์ที่สูงและด้านทานการแทรกซึมคลอไรด์ได้ดี

คำสำคัญ : กำลังอัด / คลอไรด์ / เด็ก่านหิน / เด็กาน้ำมัน / มอร์ต้าร์

Corresponding author E-mail: rerng197@rmutp.ac.th

¹ วิศวกรไயรา, นักวิจัย

² ศาสตราจารย์ ภาควิชาศิวกรรมไยรา คณะศิวกรรมศาสตร์

Strength and Chloride Penetration of Mortar with Mixture Proportioning in Ternary Cementitious System

Sumrerng Rukzon¹

Rajamangala University of Technology Phra Nakhon, Samsen Road, Dusit, Bangkok 10300

and Prinya Chindaprasirt²

Khon Kaen University, Khon Kaen 40002

Received 28 June 2007 ; accepted 19 June 2008

Abstract

This paper presents a study of the strength and chloride penetration of blended Portland cement mortar containing classified fly ash (FA) and ground palm oil fuel ash (POA). Ordinary Portland cement type I (OPC) was partially replaced with FA and POA at the dosage of 0–40% by weight of cementitious materials. In addition to normal replacement, a blend of different weight portion of FA and POA was also used to study the combined effect of the FA and POA. Sand-to-binder ratio of 2.75 by weight and water to binder ratio of 0.5 were used. Superplasticizer (SP) was incorporated in order to obtain mortar mixes with similar flow of $110 \pm 5\%$. FA and POA with 1–3% by weight retained on a sieve No. 325 were used. Compressive strength and chloride penetration depth of mortars were determined. The results revealed that the use of FA and POA produced high strength mortars. The strength of mortar containing 10% and 20% of pozzolans and blended of pozzolans were higher than that of OPC mortar at all ages. In addition, the use of ternary blended of OPC, FA and POA also produced high strength mortars and excellent resistance to chloride penetration.

Keywords : Strength / Chloride / Fly Ash / Palm Oil Fuel Ash / Mortar

Corresponding author E-mail : rerng197@rmutp.ac.th

¹ Civil Engineer, Researcher.

² Professor, Department of Civil Engineering, Faculty of Engineering.

1. บทนำ

เด็กป้าล้มน้ำมันเป็นวัสดุปอชโซลานชนิดหนึ่งในหลายชนิดและพบได้ในหลายประเทศทั่วโลก เด็กป้าล้มน้ำมันเป็นผลพลอยได้จากการกระบวนการผลิตกระแสไฟฟ้าขนาดเล็กซึ่งใช้กําลังป้าล้มและเล่นไปป้าล้มเป็นเชือเพลิง โดยเพาทีอุณหภูมิเท่ากับ $800\text{--}1,000^{\circ}\text{C}$ [1] องค์ประกอบหลักทางเคมีของเด็กป้าล้มน้ำมันคือซิลิกา ซึ่งเป็นองค์ประกอบหลักของวัสดุปอชโซลาน [1] นอกจากเด็กป้าล้มน้ำมันแล้ว วัสดุปอชโซลานอีกชนิดหนึ่งที่เรารู้จักคือเด็กต่านหินซึ่งนิยมนำมาใช้ในงานคอนกรีต ปกติแล้วการใช้เด็กต่านหินเพื่อบรรบปรุงคุณสมบัติของคอนกรีตในด้านความคงทน [1-3] ที่ผ่านมา มีงานวิจัยหลายชิ้นใช้วัสดุประسانสองชนิดรวมกันแทนที่ปูนซีเมนต์เพื่อบรรบปรุงคุณสมบัติของคอนกรีตหรือมอร์ตาร์ให้ดีขึ้นเนื่องจากผลของการเกื้อหนุนกันหรือเรียกว่า Synergic effects [1, 3] งานวิจัยของ Sumrerng Rukzon และ Prinya Chindaprasirt [3] รายงานว่าการใช้วัสดุประسانสามชนิดรวมกันของปูนซีเมนต์ เด็กแกลบและเด็กต่านหินสามารถเพิ่มกำลังอัดของมอร์ตัรได้ดี

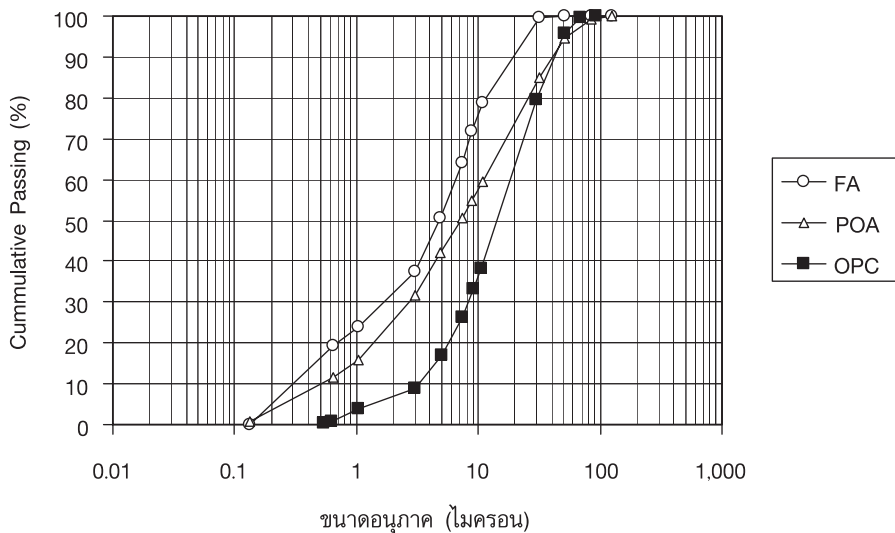
พื้นที่สำหรับการทิ้งเด็กต่านหินและเด็กป้าล้มน้ำมันเป็นปัญหาใหญ่ของกระบวนการผลิตกระแสไฟฟ้า เพราะเด็กทิ้งดังกล่าวไม่ได้นำไปใช้ประโยชน์อื่นๆ ดังนั้น วัตถุประสงค์ของงานวิจัยนี้คือการใช้ประโยชน์โดยตรงของเด็กต่านหินและเด็กป้าล้มน้ำมันเป็นวัสดุปอชโซลานสองชนิดรวมกันแทนที่ปูนซีเมนต์เพื่อลดปัญหาลิ่งแวดล้อมลดพื้นที่สำหรับการกำจัดทิ้ง ลดการใช้ปูนซีเมนต์ และลด

ต้นทุนการผลิตคอนกรีตในโครงการก่อสร้าง งานวิจัยนี้น่าจะการใช้เด็กต่านหินหรือเด็กป้าล้มน้ำมันเพียงชนิดเดียวแทนที่ปูนซีเมนต์แล้ว ยังได้นำเด็กต่านหินและเด็กป้าล้มน้ำมันเป็นวัสดุประسانสองชนิดรวมกันแทนที่ปูนซีเมนต์ เรียกว่าระบบการใช้วัสดุประسانสามชนิดรวมกันหรือ Ternary cementitious system (TCS) ทั้งนี้เพื่อศึกษาถึงคุณสมบัติต่างๆ หรือคุณสมบัติเชิงกลของวัสดุดังกล่าวไม่ว่าจะเป็นด้านการรับกำลังอัดหรือการต้านทานคลอเรตของมอร์ตัรในระบบ TCS

2. การเตรียมตัวอย่างและวิธีการทดสอบ

2.1 วัสดุที่ใช้วิจัย

วัสดุปอชโซลานใช้เด็กต่านหินจากโรงไฟฟ้าแม่เมะในทางภาคเหนือของประเทศไทย เด็กป้าล้มน้ำมันใช้จากโรงไฟฟ้าในทางภาคใต้ของประเทศไทย ใช้ปูนซีเมนต์ปอร์ตแลนด์ประเภทที่ 1 วัสดุมวลละเอียดใช้เป็นทรายแม่น้ำมีความถ่วงจำเพาะเท่ากับ 2.65 และโมดูลัสความละเอียดของทรายเท่ากับ 2.82 ใช้สารลดน้ำพิเศษชนิด F (type-F superplasticizer, SP) สำหรับปรับค่าการไหลเพื่อของมอร์ตัรเด็กต่านหินนำมาแยกขนาดละเอียดเป็น FA มีปริมาณค้างบนตะแกรงมาตรฐานเบอร์ 325 เท่ากับร้อยละ 1-3 โดยน้ำหนัก เด็กป้าล้มน้ำมันนำมารดละเอียดเป็น POA มีปริมาณค้างบนตะแกรงมาตรฐานเบอร์ 325 เท่ากับร้อยละ 1-3 โดยน้ำหนัก ขนาดการกระจายตัวของวัสดุแสดงในรูปที่ 1



รูปที่ 1 การกระจายอนุภาคของวัสดุปูชิชลานและ OPC

2.2 การเตรียมส่วนผสมของมอร์ตาร์

OPC แทนที่ด้วยวัสดุปูชิชลานในอัตราร้อยละ 0-40 โดยน้ำหนักวัสดุปูชิชลาน นอกจากการแทนที่วัสดุปูชิชลานแต่ละชนิดในปูนซีเมนต์แล้ว ยังได้นำวัสดุปูชิชลานสองชนิดรวมกันในปริมาณที่แตกต่างกันแทนที่ปูนซีเมนต์รวมเป็นวัสดุปูชิชลานสามชนิดหรือระบบ TCS ใช้รายในอัตราส่วนต่อวัสดุปูชิชลานเท่ากับ 2.75 โดยน้ำ

หนักและอัตราส่วนน้ำต่อวัสดุปูชิชลานใช้คงที่เท่ากับ 0.5 ใช้ SP ปรับค่าการไหลเพื่อให้ได้เท่ากับร้อยละ 110 ± 5 ตัวอย่างมอร์ตัร์เก็บในตู้ควบคุมที่อุณหภูมิเท่ากับ 23°C หลังจากหลอมอร์ตัร์ 24 ชม. ถอดแบบและบ่มในน้ำสะอาดที่อุณหภูมิเท่ากับ 23°C จนได้อายุการทดสอบ ส่วนผสมมอร์ตัร์ใช้ในตารางที่ 1

ตารางที่ 1 ส่วนผสมมอร์ตัร์

หมายเลข ส่วนผสม	สัญลักษณ์	OPC	FA	POA	SP (%)
1	OPC	100	-	-	2.0
2	20FA	80	20	-	0.5
3	10FA10POA	80	10	10	0.7
4	20POA	80	-	20	2.1
5	40FA	60	40	-	0.2
6	20FA20POA	60	20	20	1.2
7	40POA	60	-	40	3.3
8	10FA	90	10	-	0.7
9	10POA	90	-	10	2.0
10	20FA10POA	70	20	10	1.1
11	15FA15POA	70	15	15	1.2
12	10FA20POA	70	10	20	1.3

2.3 การทดสอบกำลังอัด

การทดสอบกำลังอัดใช้แบบหล่อมอร์ตัร์ทรงลูกบาศก์ขนาดเท่ากับ $50 \times 50 \times 50$ มม. ทดสอบกำลังอัดที่อายุ 7, 28 และ 90 วัน ตามลำดับ การทดสอบเป็นไปตามมาตรฐาน ASTM C109 [4] ค่ากำลังอัดคำนวณด้วยการใช้ตัวอย่างทดสอบ 3 ตัวอย่างและหาค่าเฉลี่ย

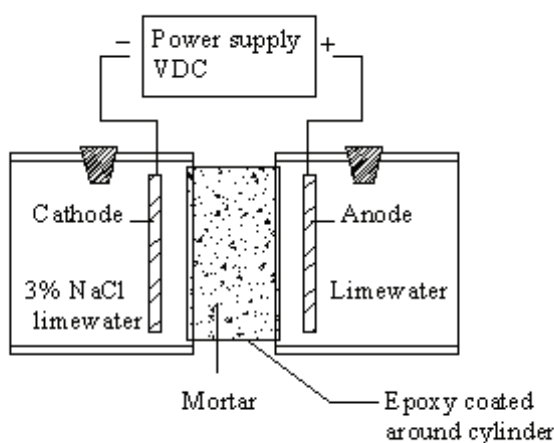
2.4 การทดสอบการแทรกซึมคลอร์ไดด์

ใช้แบบหล่อมอร์ตัร์รูปทรงกระบอกขนาดเส้นผ่านศูนย์กลางเท่ากับ 100 มม. สูงเท่ากับ 200 มม. ตาม มาตรฐาน ASTM C39 [5] หลังจากหล่อมอร์ตัร์ให้ถูกต้องใน 24 ชม. จากนั้นบ่มในน้ำสะอาดเป็นเวลา 27 วัน นำมาตัดที่กึ่งกลางให้มีความหนา 50 มม. (ใช้ด้านข้างและขวา) ตามมาตรฐาน ASTM C1202 [6] จะได้ตัวอย่างมอร์ตัร์ 2 ก้อน และนำไปเคลือบด้วยอีพอกซี (Epoxy coated) โดยรอบทรงกระบอก จากนั้นทิ้งไว้อีก 1 วัน นำไปทดสอบหาความลึกคลอร์ไดด์แบบเร่ง (Rapid migration test, RMT) และความลึกคลอร์ไดด์แบบแช่ (Immersion test, IMT)

2.4.1 ความลึกคลอร์ไดด์แบบเร่ง หรือ Rapid migration test (RMT)

หลังการบ่มตัวอย่างที่อายุ 27 วัน ตัดตัวอย่างที่

กึ่งกลางให้หนาเท่ากับ 50 มม. เทเมื่อนในหัวข้อ 2.4 นำมาเคลือบด้วยอีพอกซีโดยรอบทรงกระบอก ทิ้งไว้อีก 1 วัน การทดสอบใช้ตามรูปที่ 2 ด้วยการประยุกต์วิธีการทดสอบตามมาตรฐาน ASTM C1202 [6] ในด้านข้างหรือด้านแคโทด (Cathode side) ใช้สารละลายโซเดียมคลอไรด์ ร้อยละ 3 ในน้ำปูนใส (ร้อยละ 3 NaCl in limewater) ส่วนด้านข้างตรงหรือด้านแอนโอด (Anode side) เป็นน้ำปูนใส (limewater) และทดสอบใช้แรงดันไฟฟ้าในส่องข้าว เท่ากับ 30 โวลต์ (30 V DC) เป็นเวลา 8 ชม. เมื่อจากเป็นค่าแรงดันและระยะเวลาที่พอเหมาะสมซึ่งไม่ส่งผลต่อความร้อนในสารละลาย หากใช้ค่าแรงดันและระยะเวลาที่สูงกว่านี้ จะทำให้สารละลายเดือดและอุณหภูมิสูง จากนั้นหาความลึกคลอร์ไดด์ด้วยการหักมอร์ตัร์และฉีดพ่นด้วยสารละลายซิลเวอร์ในเตรท 0.1 โมลาร์ หรือ 0.1 M AgNO₃ [7] เพื่อตรวจสอบการแทรกซึมคลอร์ไดด์และวัดระยะความลึก สำหรับการวัดความลึก ใช้วัดระยะและการแทรกซึมที่หน้าตัดมอร์ตัร์ประมาณ 6 จุดและหาค่าเฉลี่ย การเลือกการทดสอบวิธีนี้เนื่องจากการศึกษาเพื่อหาวิธีการทดสอบการแทรกซึมคลอร์ไดด์แบบเร่ง และนำไปเทียบกับแบบแช่ ซึ่งเป็นการแช่แบบธรรมชาติ ทั้งนี้ เพื่อเป็นแนวทางการศึกษาวิจัยในอนาคตต่อไป

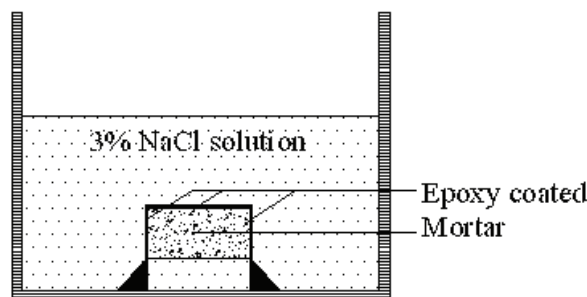


รูปที่ 2 การทดสอบความลึกคลอร์ไดด์แบบเร่ง (RMT)

2.4.2 ความลึกคลอไพร์ดแบบแข็ง หรือ Immersion test (IMT)

การทดสอบ IMT ใช้สารละลายน้ำเดี่ยมคลอไพร์ดร้อยละ 3 การติดตั้งการทดสอบใช้ตามรูปที่ 3 คล้ายกับห้องน้ำวิจัยที่ผ่านมา [1, 8] หลังการบ่มตัวอย่างที่อายุ 27 วัน ตัดตัวอย่างที่กึ่งกลางให้หนาเท่ากับ 50 มม. เหมือนในหัวข้อ 2.4 นำมาเคลือบด้วยอี้พอกซ์โดยรอบทรงกลมและเหลือไว้เพียงด้านเดียวเพื่อให้มีการแทรกซึมทึ้งไว้อีก 1

วัน นำตัวอย่างแข็งในสารละลายน้ำเดี่ยมคลอไพร์ดเป็นเวลา 30 วัน ใช้ความสูงจากผิวของสารละลายน้ำเดี่ยมคลอไพร์ดตัวอย่างมอร์ตาร์ประมาณ 10 ซม. จากนั้นหาความลึกคลอไพร์ดตัวอย่างการหักมอร์ตาร์และนีดพ่นด้วยสารละลายน้ำเดี่ยมคลอไพร์ดในเตรท 0.1 มอลลาร์ หรือ 0.1 M AgNO₃ [7] เพื่อตรวจลองการแทรกซึมคลอไพร์ดและวัดระยะความลึก สำหรับการวัดความลึก ใช้การวัดระยะแนวการแทรกซึมที่หน้าตัดมอร์ตาร์ประมาณ 6 จุดและหาค่าเฉลี่ย



รูปที่ 3 การทดสอบความลึกคลอไพร์ดแบบแข็งธรรมชาติ (IMT)

3. ผลการทดสอบและวิเคราะห์ผล

3.1 องค์ประกอบทางเคมีและคุณสมบัติทางกายภาพ

ความละเอียดของ OPC และวัสดุปูอชโซลานแสดงไว้ในตารางที่ 2 ความละเอียดของ OPC โดยวิธีของเบلن (Blaine fineness) มีค่าเท่ากับ 3,600 ตร.ซม./ก. ความละเอียดของ FA และ POA มีค่าเท่ากับ 5700 และ 11,800 ตร.ซม./ก. ตามลำดับ ความถ่วงจำเพาะของ OPC, FA และ POA เท่ากับ 3.14, 2.45 และ 2.25 ก./ลบ.ซม. ตามลำดับ ขนาดอนุภาคเฉลี่ยของ OPC, FA และ POA เท่ากับ 15, 4.9 และ 7.2 ไมครอน ตามลำดับ องค์ประกอบเคมีของวัสดุประสานแสดงในตารางที่ 3 ซึ่งพบ

ว่าเก้าตันหิน FA จากแม่เมะที่ใช้เป็นชนิด F (Class F) มีผลรวมของ SiO₂ + Al₂O₃ + Fe₂O₃ เท่ากับร้อยละ 74 ซึ่งมากกว่าร้อยละ 70 มีค่า SO₃ เท่ากับร้อยละ 2.2 และมีค่า LOI เท่ากับร้อยละ 2.5 ซึ่งเป็นไปตามมาตรฐานของ ASTM C618 [9] ส่วน POA มองค์ประกอบเคมี SiO₂ เท่ากับร้อยละ 63.6 มีองค์ประกอบเคมีของ CaO และ K₂O เท่ากับร้อยละ 7.6 และ 6.9 ตามลำดับ ส่วน LOI มีเท่ากับร้อยละ 9.6 ซึ่งไม่สูงมากนักเนื่องจากการเผาที่อุณหภูมิที่เหมาะสม และผลรวมของ SiO₂ + Al₂O₃ + Fe₂O₃ เท่ากับร้อยละ 66.6 ซึ่งน้อยกว่าร้อยละ 70 เพียงเล็กน้อยและจัดเป็นวัสดุปูอชโซลานชนิดทั่วไปตามมาตรฐาน ASTM C618 [9]

ตารางที่ 2 คุณสมบัติการภายภาพของวัสดุ

ตัวอย่าง	ขนาดอนุภาคเฉลี่ย (ไมครอน)	ปริมาณค้างบนตะแกรง มาตรฐานเบอร์ 325 (ร้อยละ)	ความต่ำงจำเพาะ (ก./ลบ.ซม.)	ความละอียด (ตร.ซม./ก.)
OPC	15.0	-	3.14	3,600
FA	4.9	1-3	2.45	5,700
POA	7.9	1-3	2.25	11,800

ตารางที่ 3 องค์ประกอบเคมีของวัสดุ

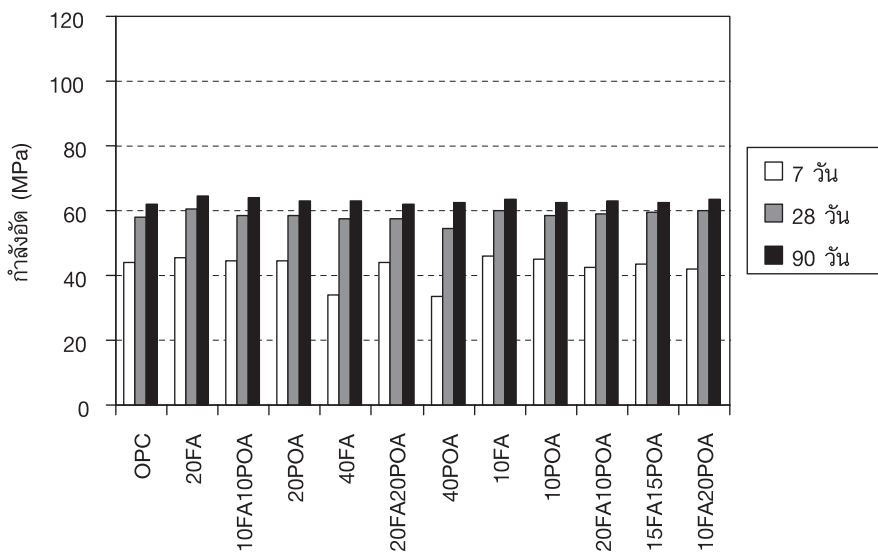
ออกไซด์	OPC	POA	FA
SiO_2	20.5	63.6	41.0
Al_2O_3	4.5	1.5	21.5
Fe_2O_3	3.4	1.5	11.5
CaO	65.4	7.6	14.4
MgO	1.3	3.9	3.3
Na_2O	0.2	0.1	1.1
K_2O	0.4	6.9	2.6
SO_3	2.7	0.2	2.2
LOI	0.9	9.6	2.5
$\text{SiO}_2 + \text{Al}_2\text{O}_3 + \text{Fe}_2\text{O}_3$	-	66.6	74.0

3.2 กำลังอัด

รูปที่ 4 เป็นผลการทดสอบกำลังอัดของมอร์ต้าร์ ในแต่ละส่วนผสมซึ่งพบว่ากำลังอัดของมอร์ต้าร์ผสมวัสดุปอชโซลานในอัตราอ้อยละ 10 และ 20 มีค่าสูงกว่ามอร์ต้าร์ OPC ทุกอย่างการทดสอบ

ความละอียดของ FA สามารถกระจายตัวและเข้าไปแทรกตัวในรูปพื้นของเพสต์ทำหน้าที่เป็นศูนย์กลาง การกระตุ้นการเกิดปฏิกิริยาได้มากขึ้นและเพิ่มปฏิกิริยาปอชโซลาน [2, 10] การใช้ POA ในมอร์ต้าร์ส่งผลให้เกิดการอัดตัวในเพสต์และทำให้มอร์ต้าร์มีความทึบแน่นขึ้น เนื่องจากความละอียดของ POA และเนื่องจากพื้นที่ผิว

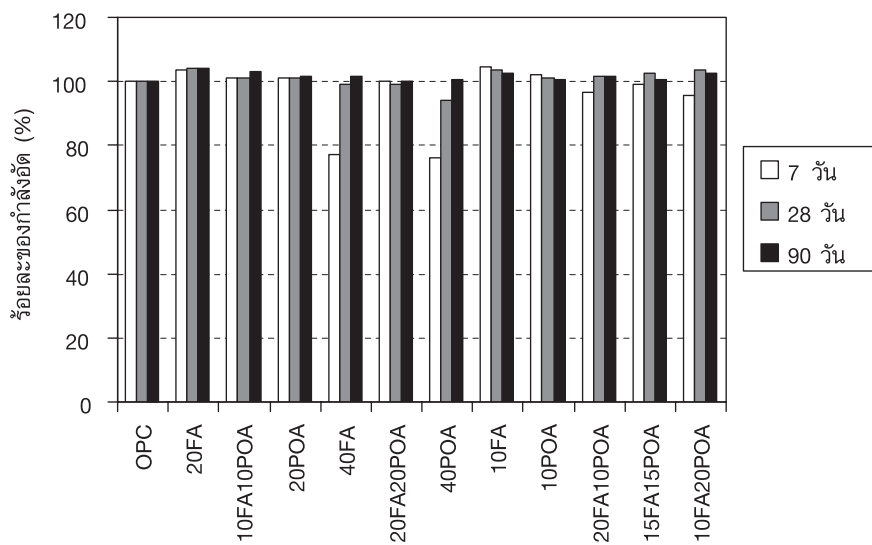
จำเพาะที่สูงของ POA ส่งผลให้เกิดปฏิกิริยาปอชโซลานที่มากขึ้น [1] การเพิ่มปริมาณการแทนที่ด้วยวัสดุปอชโซลานทั้ง FA และ POA ในอัตราอ้อยละ 40 ส่งผลให้ค่ากำลังอัดลดลงในอายุต้นของมอร์ต้าร์ อย่างไรก็ตาม กำลังอัดของมอร์ต้าร์ที่อายุ 90 วันสูงกว่ามอร์ต้าร์ OPC และงให้เห็นว่าอัตราการเกิดปฏิกิริยาปอชโซลานเกิดขึ้นช้าในอายุต้น และกำลังอัดของมอร์ต้าร์สูงขึ้นเมื่ออายุทดสอบสูงขึ้นที่ 90 วัน ดังแสดงในรูปที่ 4 ผลทดสอบซึ่งให้เห็นว่าการใช้ FA และ POA เกิดปฏิกิริยาได้มากและเพิ่มปฏิกิริยาปอชโซลานเมื่ออายุเพิ่มขึ้น



รูปที่ 4 กำลังอัดของมอร์ต้าร์

รูปที่ 5 เป็นค่าร้อยละกำลังอัดของตัวอย่างมอร์ต้าร์ ผสมด้วยปูนซีเมนต์ปอร์ตแลนด์และวัสดุปูชโซลาน สำหรับการใช้วัสดุปูชโซลานในระบบ TCS พบว่าค่าดัชนีกำลังอัดของมอร์ต้าร์ที่อายุ 7 วัน มีค่าระหว่างว้อยละ 95-101 ของมอร์ต้าร์ OPC ดังแสดงในรูปที่ 5 โดยที่ ที่อายุ 28 และ 90 วัน ค่าดัชนีกำลังอัดของมอร์ต้าร์อยู่ระหว่างร้อยละ 99-103 และร้อยละ 100-103 ของมอร์ต้าร์ OPC ตามลำดับ ผลทดสอบชี้ให้เห็นว่าการแทนที่ในอัตราเร้อยละ 40 ด้วย

ระบบ TCS พัฒนากำลังอัดในอายุต่อนั้นของมอร์ต้าร์ เมื่อเทียบกับการใช้วัสดุปูชโซลานเพียงชนิดเดียวแทนที่ปูนซีเมนต์ ทั้งนี้เป็นผลของการเกือบหันกันของวัสดุประสานที่ใช้ในการทดสอบในระบบ TCS [3, 8, 11] ส่วนผลของปริมาณ SP ของ POA พบว่าสูงกว่า FA เล็กน้อยเนื่องจากการบดให้ POA มีความละเอียดที่สูงส่งผลให้ความพรุนลดลงตามไปด้วย



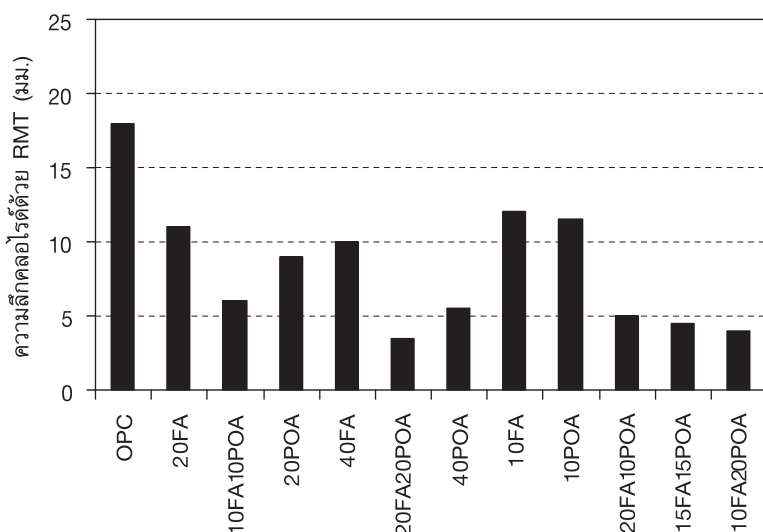
รูปที่ 5 ร้อยละกำลังอัดของมอร์ต้าร์

3.3 การแทรกซึมคลอรอไตร์ด

3.3.1 ความลึกคลอรอไตร์ดด้วย RMT

ผลการทดสอบความลึกคลอรอไตร์ดด้วย RMT แสดงในรูปที่ 6 ผลทดสอบพบว่าเมื่อใช้วัสดุป้องชีโอลานแทนที่ปูนซีเมนต์ส่งผลให้ความลึกคลอรอไตร์ดลดลงเมื่อเทียบกับมอร์ต้าร์ OPC การแทนที่ปูนซีเมนต์ด้วย FA ในอัตรารอยละ 10, 20 และ 40 มีความลึกคลอรอไตร์ดเท่ากับ 12, 11 และ 10 มม. ตามลำดับ ขณะที่ความลึกคลอรอไตร์ดของมอร์ต้าร์ OPC

มีค่าเท่ากับ 18 มม. ส่วนการแทนที่ปูนซีเมนต์ด้วย POA ในอัตรารอยละ 10, 20 และ 40 มีความลึกคลอรอไตร์ดเท่ากับ 11.5, 9 และ 5.5 มม. ตามลำดับ เนื่องจากการใช้ FA และ POA สามารถทำหน้าที่เป็นตัวกระตุนปฏิกิริยาไฮเดรชันในซีเมนต์เพลสต์ ลดปริมาณแคลเซียมไฮดรอกไซด์และลดการซึมผ่านในมอร์ต้าร์ การทดสอบพบว่า POA ต้านทานคลอรอไตร์ดได้ดี ตามด้วย FA และ OPC ตามลำดับ



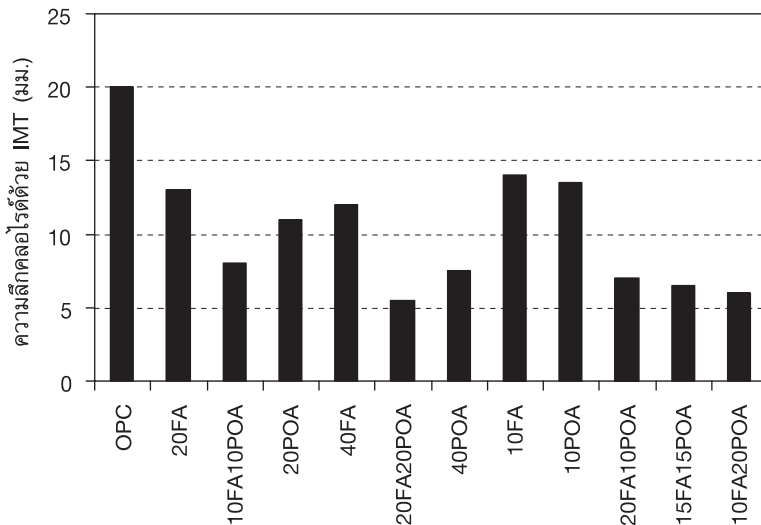
รูปที่ 6 ความลึกคลอรอไตร์ดด้วย RMT

สำหรับการใช้วัสดุประสานสามชนิดรวมกันในมอร์ต้าร์พบว่าสามารถต้านทานคลอรอไตร์ดได้ ความลึกคลอรอไตร์ดของมอร์ต้าร์ 10FA10POA, 20FA20POA, 20FA10POA, 15FA15POA และ 10FA20POA คือ 6.0, 3.5, 5.0, 4.5 และ 4.0 มม. ตามลำดับ ขณะที่ความลึกคลอรอไตร์ดของมอร์ต้าร์ OPC มีค่าเท่ากับ 18 มม. ผลการทดสอบสนับสนุนเหตุผลจากการเกี้ยหันนุนกันของวัสดุป้องชีโอลาน ของ FA และ POA เช่นเดียวกับการทดสอบกำลังอัดที่ให้ค่าที่สูงเมื่อใช้วัสดุป้องชีโอลานสองชนิดรวมกัน [3, 8, 11] ผลของอนุภาคที่เล็กหรือความละเอียดของเก้าถ่านหินและถ่านป้าล้มน้ำมันล่งผลของการเร่งให้เกิดปฏิกิริยา รวมทั้งการเกิดปฏิกิริยาป้องชีโอลานเพิ่มเติมจากไฮเดรชัน ทำให้มอร์ต้าร์มีความทึบแน่นจากผลผลิตของแคลเซียมชิลิกเกตไฮเดรทในซีเมนต์เพลสต์ [12] จึงทำให้

มอร์ต้าร์มีกำลังอัดที่สูงและต้านทานคลอรอไตร์ดได้ โดยเฉพาะเมื่อใช้ FA รวมกับ POA แทนที่ปูนซีเมนต์

3.3.2 ความลึกคลอรอไตร์ดด้วย IMT

ผลทดสอบความลึกคลอรอไตร์ดด้วย IMT แสดงในรูปที่ 7 มีแนวโน้มไปในทิศทางเดียวกับผลทดสอบ RMT แต่ต่างกันเพียงค่าที่ได้จากการทดสอบเท่านั้น และพบว่า มอร์ต้าร์ผสมด้วย POA หรือการใช้ FA รวมกับ POA ต้านทานคลอรอไตร์ดได้ การทดสอบด้วย IMT เป็นการวัดค่าความลึกคลอรอไตร์ดโดยตรงแบบธรรมชาติด้วยการเชื้ตัวอย่างทดสอบในสารละลายโซเดียมคลอรอไตร์ดขณะที่การทดสอบ RMT เป็นวิธีการแบบเร่งผลทดสอบ อย่างไรก็ตามผลทดสอบชี้ให้เห็นว่าการทดสอบ RMT สามารถใช้เป็นวิธีการทดสอบการแทรกซึมคลอรอไตร์ด และประหยัดเวลาในการทดสอบ



รูปที่ 7 ความลึกคลอร์ไดร์ด้วย IMT

4. สรุปผลการทดสอบ

จากการทดสอบสามารถสรุปได้ว่ามอร์ต้าร์ผสม FA และ POA ให้ค่ากำลังอัดที่สูง กำลังอัดของมอร์ต้าร์ผสมด้วยวัสดุปูนซีเมนต์ในอัตราเรือยละ 20 ให้ค่ากำลังอัดที่สูงเมื่อเทียบกับมอร์ต้าร์ OPC การใช้วัสดุปูนซีเมนต์ชินิดรวมกันแทนที่ปูนซีเมนต์ในอัตราเรือยละ 20 ให้ค่ากำลังอัดที่สูงเมื่อเทียบกับมอร์ต้าร์ OPC, FA และ POA ให้ค่ากำลังอัดที่สูงและต้านทานคลอร์ไดร์ดได้ดี การทดสอบ RMT สามารถใช้เป็นวิธีการทดสอบการแทรกซึมคลอร์ไดร์ดแบบเร่งได้ และประหยัดเวลาในการทดสอบ

5. กิตติกรรมประกาศ

งานวิจัยนี้ได้รับสนับสนุนทุนจากสำนักงานคณะกรรมการวิจัยแห่งชาติ (วช.) ได้รับสนับสนุนทุนวิจัยและห้องปฏิบัติการจากศูนย์วิจัยและพัฒนาโครงสร้างสร้างมูลฐานอย่างยั่งยืน คณะวิศวกรรมศาสตร์ มหาวิทยาลัยขอนแก่น และสาขาวิศวกรรมโยธา มหาวิทยาลัยเทคโนโลยีราชมงคลพระนคร

6. เอกสารอ้างอิง

1. Chindaprasirt, P., Rukzon, S., and Sirivivatnanon, V., 2008, "Resistance to Chloride Penetration of Blended Portland Cement Mortar

Containing Palm Oil Fuel Ash, Rice Husk Ash and Fly Ash", *Construction and Building Materials*, Vol. 22, No. 5, pp. 932-938.

2. Poon, C.S., Wong, Y.L., and Lam, L., 1997, "The Influence of Different Curing Conditions on the Pore Structure and Related Properties of Fly Ash Cement Pastes and Mortars," *Construction and Building Materials*, Vol. 11, No. 78, pp. 383-393.

3. Rukzon, S. and Chindaprasirt, P., 2006, "Strength of Ternary Blended Cement Mortar Containing Portland Cement, Rice Husk Ash and Fly Ash", *Journal of Engineering Institute of Thailand*, Vol. 17, No. 2, pp. 33-38.

4. ASTM C109/C109M-99, 2001, *Standard Test Method for Compressive Strength of Hydraulic Cement Mortars (using 2-in or [50 mm] Cube specimens)*, Annual Book of ASTM Standards 04.01, pp. 83-88.

5. ASTM C39, 2001, *Standard Test Method for Compressive Strength of Cylindrical Concrete Specimens*, ASTM C39M-01, Annual Book of ASTM Standards 04.02, pp. 18-22.

6. ASTM C 1202, 2001, *Standard Test Method*

- for Electrical Indication of Concrete's Ability to Resist Chloride Ion Penetration, ASTM C1202-97, Annual Book of ASTM Standards 04.02, pp. 646-651.
7. Otsuki, N., Nagataki, S., and Nakashita, K., 1993, "Evaluation of AgNO_3 Solution Spray Method for Measurement of Chloride Penetration into Hardened Cementitious Matrix Materials", *Construction and Building Materials*, Vol. 7, No. 4, pp. 195-201.
8. Chindaprasirt, P., Rukzon, S., and Sirivivatnanon, V., 2008, "Effect of Carbon Dioxide on Chloride Penetration and Chloride Ion Diffusion Coefficient of Blended Portland Cement Mortar", *Construction and Building Materials*, Vol. 22, No. 8, pp. 1701-1707.
9. ASTM C618-00, 2001, *Standard Specification for Coal Fly Ash and Raw or Calcined Natural Pozzolan for Use as a Mineral Admixture in Concrete*, Annual Book of ASTM Standards 04.02, pp. 310-313.
10. Chindaprasirt, P., Jaturapitakkul, C., and Sinsiri, T., 2005. "Effect of Fly ash Fineness on Compressive Strength and Pore size of Blended Cement Paste", *Cement and Concrete Composite*, Vol. 27, No. 4, pp. 425-428.
11. Isaia, G.C., Gastaldini, A.L.G., and Moraes, R., 2003, "Physical and Pozzolanic Action of Mineral Additions on the Mechanical Strength of High-performance Concrete", *Cement and Concrete Composite*, Vol. 25, No. 1, pp. 69-76.
12. Neville, A.M., 1995, *Properties of Concrete*, 4th, and Final Edition, Longman Group Limited, Malaysia.